

Рис. 3. Вид фибробластов кожи человека (Фото из интернета с сайта <http://www.shutterstock.com>).

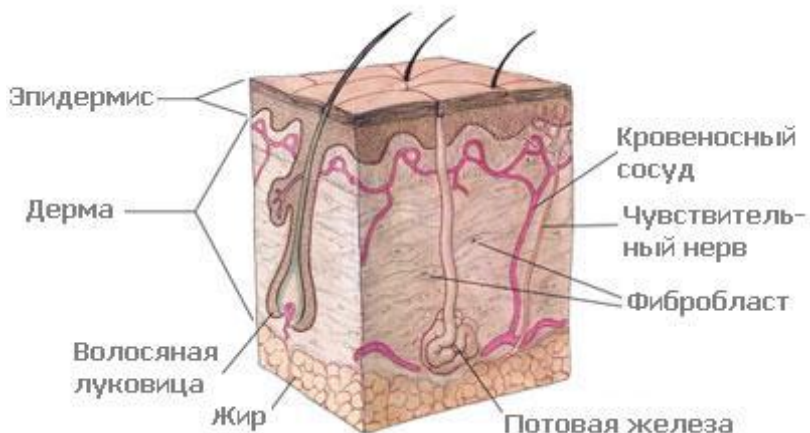


Рис. 4. Объемный разрез кожи (Фото из интернета с сайта <https://ru.wikipedia.org>).

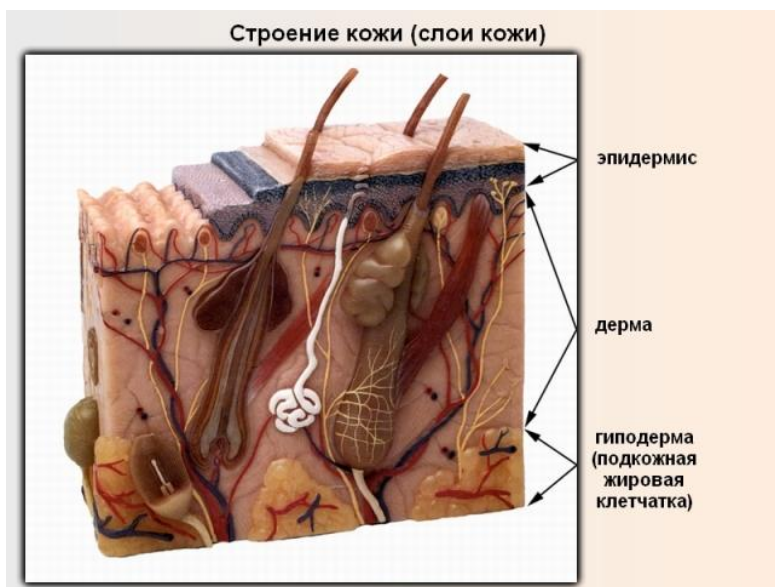


Рис. 5. Объемный разрез кожи (Фото из интернета с сайта <http://quicklady.ru>).

а



б

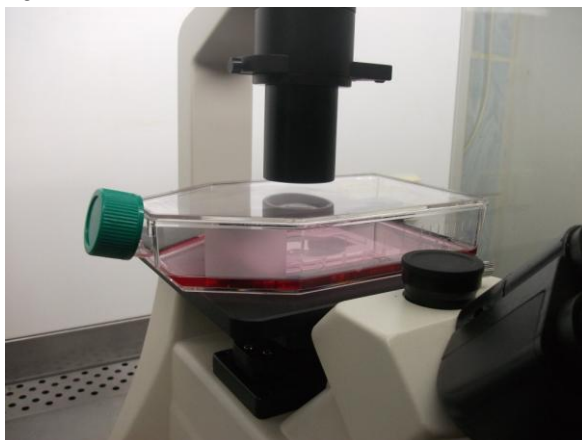


Рис. 6. Вид флаконов для культивирования клеток.  
а – фото автора; б – фото предоставлено А.А. Згурским.



Рис. 7. Вид CO<sub>2</sub>-инкубатора для культивирования клеток (Фото из интернета с сайта <http://www.optimum-lab.ru>).



Рис. 8. Внешний вид ламинарного шкафа для стерильной работы с культурами клеток. а – фото из интернета с сайта <http://5ok.pulscen.by>; б – фото предоставлено А.А. Згурским.

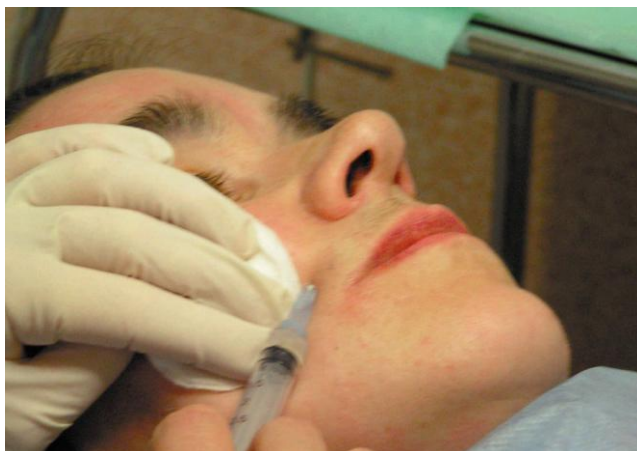
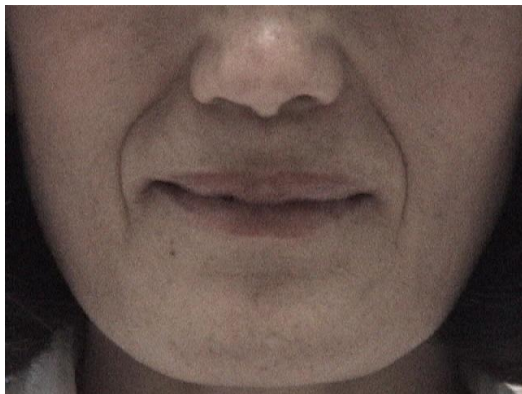


Рис. 9. Процедура введения аутогенных клеток (Фото предоставлено А.А. Згурским).

а



б

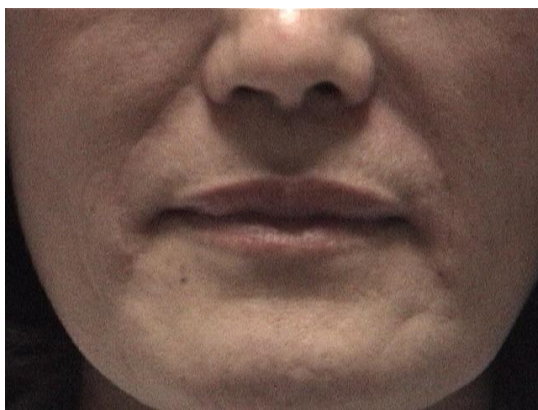
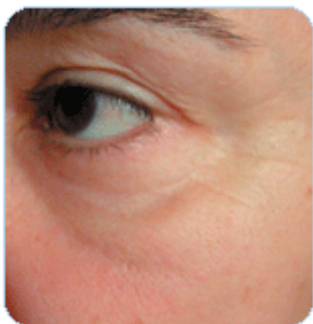


Рис. 10. Результат применения аутогенных фибробластов для носогубных складок: а – до применения; б – после пересадки клеток (Фото из презентации фирмы Isolagen, США. Сайт <https://yadi.sk/i/tVyV06Az3LwDBL>).

а



б



Рис. 11. Результат применения аутогенных фибробластов для поверхности кожи около глаз: а – до применения, б – через несколько месяцев после выполнения процедур (Крихели и др., 2004).



До терапии



После терапии

Рис. 12. Пример лечения лобных морщин (Фото из презентации фирмы Isolagen, США. Сайт <https://yadi.sk/i/tVyV06Az3LwDBL>).



До терапии



После терапии

Рис. 13. Пример лечения угревой сыпи (Фото из презентации фирмы Isolagen, США. Сайт <https://yadi.sk/i/tVyV06Az3LwDBL>).



а



б



в



Рис. 14. Вид участка лица пациентки: а – до процедуры; б – в процессе выполнения процедуры; в – спустя 6 месяцев после выполнения терапии (Фото из статьи: Watson et al., 1999).

а



б



Рис. 15. Вид участка лица пациентки: а – до процедуры; б – спустя 4–6 месяцев после выполнения терапии. Стрелкой на рис. (а) и (б) показан дефект кожи до терапии и после, соответственно. Дефект – рубцевая поверхность на щеке после удаления бородавки. (Фото из статьи: Watson et al., 1999).

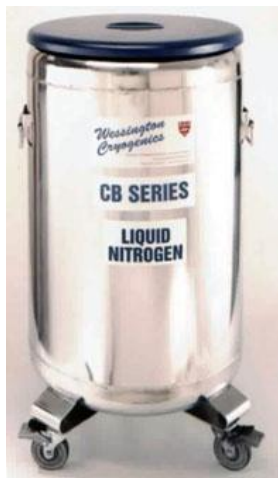


Рис. 16. Вид криохранилища (Фото из интернета с сайта <http://www.cryocatalog.ru>).

а



б



Рис. 20. Вид стеклянного флакона Карреля (а) и пластмассового флакона (б) с налитой в них ростовой средой. (Фото автора).

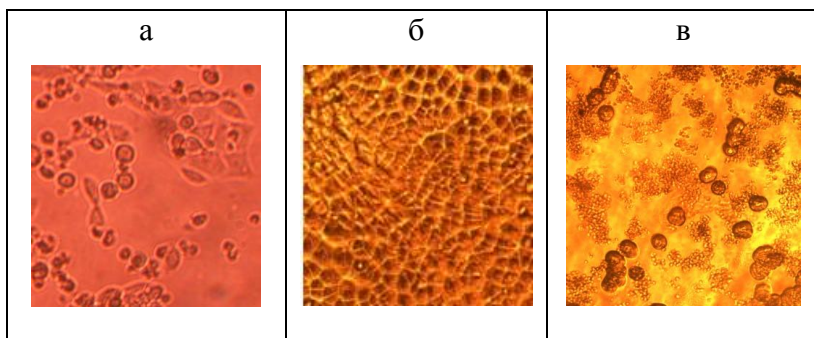


Рис. 22. Вид культуры клеток в стеклянных флаконах в разное время роста: а - в первый день после замены среды, б – через 5–7 дней роста при достижении монослоя, в – в период старения культуры на 12–15 дни, когда много клеток погибли, а часть клеток еще живые (Фото автора).

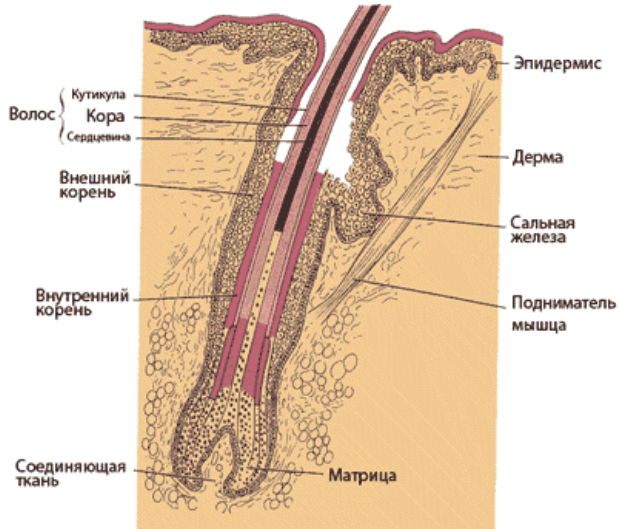


Рис. 28. Структура волосяного фолликула (Рисунок из интернета с сайта <http://alerana.ru>).

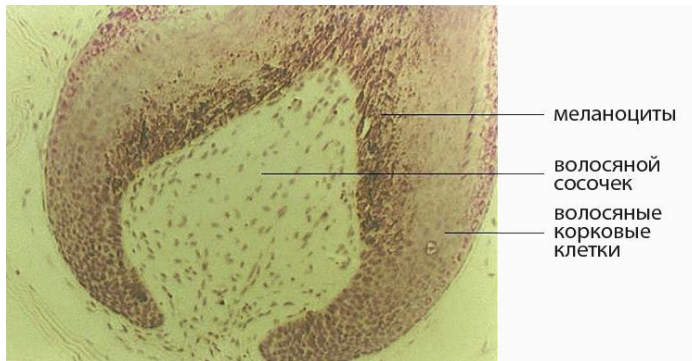


Рис. 29. Внутренняя часть фолликула, где показаны меланоциты, синтезирующие пигменты, окрашивающие волосы (Рисунок из интернета с сайта <http://vipadenievolos.ru>).



Рис. 30. Фотография 2-х волос, в фолликулах которых под действием методики восстановилось пигментирование и вновь растущие волосы уже окрасились от корня на 5–6 мм, пока не были изъяты для фотографирования (Фото автора).

а

б

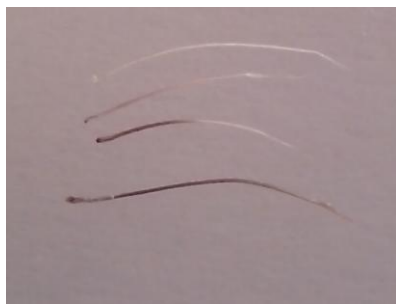


Рис. 31. а – вид 3-х волос разного вида, б – вид тех же 3-х волос и еще одного. Вверху показан волос полностью седой, а в самом низу полностью неседой волос. Между ними представлен 1 волос на рис. (а) или 2 волоса на рис. (б), которые после применения регенерационной методики начали окрашиваться от корня (Фото автора).



Рис. 32. Вид 2-х волос в которых началось пигментирование от корня после применения методики (Фото автора).



Рис. 33. Вид волоса в котором началось пигментирование от корня после применения методики (Фото автора).



Рис. 34. Вид искусственной трахеи для замены (Фото из интернета с сайта <http://elitemedica.com.ua>).



Рис. 35. Вид искусственной кожи, выращенной с использованием кожных фибробластов (Фото из интернета с сайта <http://rassenia.info>).